

## بررسی اثرات تورق بر بار بحرانی صفحات مواد مرکب لایه‌یی تحت بار برشی داخل صفحه

دانشکده‌ی مهندسی هوا فضا، دانشگاه صنعتی شریف  
محمدعلی کوچک‌زاده (استادیار)

استحکام مواد مرکب لایه‌یی<sup>۱</sup> و به خصوص بار بحرانی کمانش آنها بر اثر تورّق<sup>۲</sup> کاهش قابل ملاحظه‌یی بیدا می‌کند. در این نوشتنار، تأثیر تورّق بر روی بار بحرانی، تحت بار برپی داخل صفحه، بررسی می‌شود. برای این منظور صفحه‌یی مستطیل شکلی از جنس مواد مرکب لایه‌یی چندساز می‌حاوی یک یا چند تورّق در نظر گرفته شده است. تحلیل کمانش با استفاده از تئوری تغییر شکل مرتبه‌ی اول میندلین، و به وسیله‌ی روش اجزاء محدود (حل مسئله‌ی مقدار ویژه) انجام گرفته است. حل این مسئله بدون در نظر گرفتن قیود لازم برای جلوگیری از درهم فرورفتگی ایه‌های جدا شده، منجر به جواب‌های غیر قابل قبول از لحاظ فیزیکی می‌شود. در این نوشتنار، راه حل مناسبی برای اعمال قیود مورد نیاز توسط روش تابع جرمیه معرفی شده است. نتایج عددی، اثر تعداد، اندازه و عمق تورّق، و شرایط مرزی صفحه بر روی بار بحرانی را نشان می‌زند.

مقدمة

در این تحقیق، کمانش صفحات مستطیل شکل مواد مركب لایه‌بی تحت اثر بار برپی داخل صفحه و حاوی تورّق یگانه یا چندگانه مورد بررسی قرار گرفته و تأثیر پارامترهای مختلف بر روی بار بحرانی نشان داده شده است. برای این منظور، از مدل دو بعدی صفحه با در نظر گرفتن اثر برش عرضی<sup>۱۱</sup> (نظریه‌ی صفحه‌ی میندلین) در روش اجزاء محدود استفاده شده است. برای هر لایه‌ی جدا شده در ناحیه‌ی تورّق، یک صفحه‌ی مرجع جداگانه در نظر گرفته شده است. بار بحرانی و حالت کمانش با حل مستله‌ی مقدار ویژه به دست آمده است. برای جلوگیری از هم پوشانی لایه‌های جدا شده و رفع مستله‌ی تماس، از روش تابع جرمیه استفاده شده است، که معنی فیزیکی آن اضافه کردن فترهای مجازی بین نقاط هم پوشیده است. روش مناسبی برای تعیین ثابت فترهای مذکور با در نظر گرفتن خواص کشسانی و میزان هم پوشانی در هر نقطه ارائه شده است. نتایج عددی نشان دهنده‌ی اثر تعداد، اندازه و عمق تورّق، و شرایط مرزی صفحه بر روی بار بحرانی، است.

مدد استفاده

صفحه‌ی مستطیل شکلی از مواد مرکب لایه‌یی با اضلاع  $a$  و  $b$  و ضخامت  $H$  حاوی سورق چندگانه یا یگانه را در نظر می‌گیریم (شکل ۱). از دستگاه مختصات  $(z, y, h)$  که مبدأ آن در وسط صفحه

وجود تورّق در صفحات ساخته شده از مواد مرکب لایه‌یی باعث از دست رفتن استحکام<sup>۲</sup> و سفتی<sup>۳</sup> آنها می‌شود. بار بحرانی حاصل از کمایش در صفحات متحمل نیروی فشاری داخل صفحه از پارامترهایی است که افت آن بر اثر وجود تورّق به صورت تجربی و تحلیلی اثبات شده است. خصوصیات مکانیکی صفحات دارای تورّق نیز بر اثر نیروی بررشی داخل صفحه افت پیدا می‌کند، اما در این زمینه اطلاعات کافی، به دست نیامده است.

تورّق ممکن است در اشکال مختلف و به علت زیر ایجاد شود:  
 تورّق یگانه<sup>۵</sup> به علت اشکال در ساخت، تورّق چندگانه<sup>۶</sup> به علت ضربه‌ی اجسام خارجی بروی صفحه، و تورّق در لیه‌ها<sup>۷</sup> بر اثر بارهای خستگی. از این میان، ضربه‌ی اجسام خارجی مهم‌ترین علت ایجاد تورّق است که منجر به پیدایش چندین جدایش در بین لایه‌ها و در راستای ضخامت می‌شود و معمولاً اندازه‌ی این جدایش‌ها با دور شدن از نقطه<sup>۸</sup>، بخوبی در راستای ضخامت افزایش می‌یابد.

گونه‌های مختلف کمانش مواد مرکب لایه‌بی تحت بارهای فشاری داخل صفحه، نظیر تورق سراسری عرضی<sup>[۱۸]</sup>، تورق در لایه‌ها<sup>[۱۹]</sup>، تورق یگانه<sup>[۲۰]</sup> و تورق چندگانه<sup>[۲۱]</sup> مورد بررسی قرار گرفته است. اما فقط یک تحقیق بر روی کمانش مواد مرکب لایه‌بی حاوی تورق بر اثر نیروی برنشتی داخل صفحه صورت گرفته است<sup>[۲۲]</sup> که در آن نتیجه فقط از مدل تورق سراسری عرضی، بدون در

### تحلیل کمانش

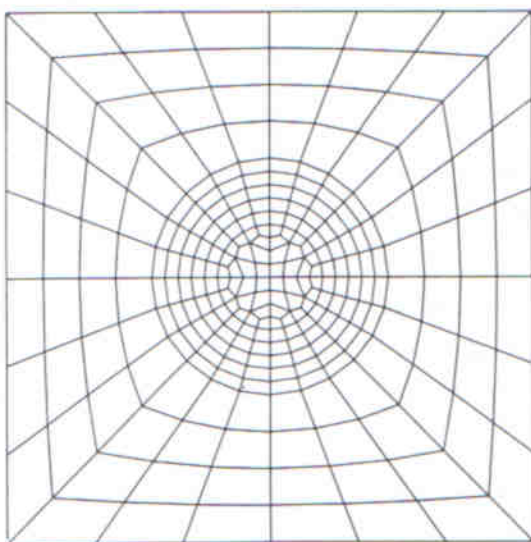
در این تحلیل، از روش اجزاء محدود استفاده شده است. این تحلیل به دو روش امکان پذیر است: ۱. روش غیرخطی که در آن باری را به صفحه اعمال کرده و با افزایش تدریجی آن در تکرار<sup>۱۳</sup> های متعدد معادله غیرخطی تعادل را حل می کنند؛ ۲. روش خطی که در آن ضمن حل یک مسئله پایداری (مسئله مقدار ویژه) در یک مرحله جواب را به دست می آورند. دنبال کردن مسیر بار-تغییر مکان در روش اول، اطلاعات زیادی را شامل بار بحرانی و شکل صفحه‌ی قبل و بعد از کمانش، ارائه می دهد. در روش دوم، تنها بار بحرانی و حالت کمانش را در یک مرحله به دست می آوریم. معمولاً بار بحرانی مهم‌ترین نگرانی طراحان است که در این صورت روش حل مسئله مقدار ویژه به خاطر سادگی و سرعت بالاتر ترجیح داده می شود.

رابطه‌ی اصلی در تحلیل کمانش به روش خطی، مسئله مقدار ویژه زیر است:<sup>[۱۴]</sup>

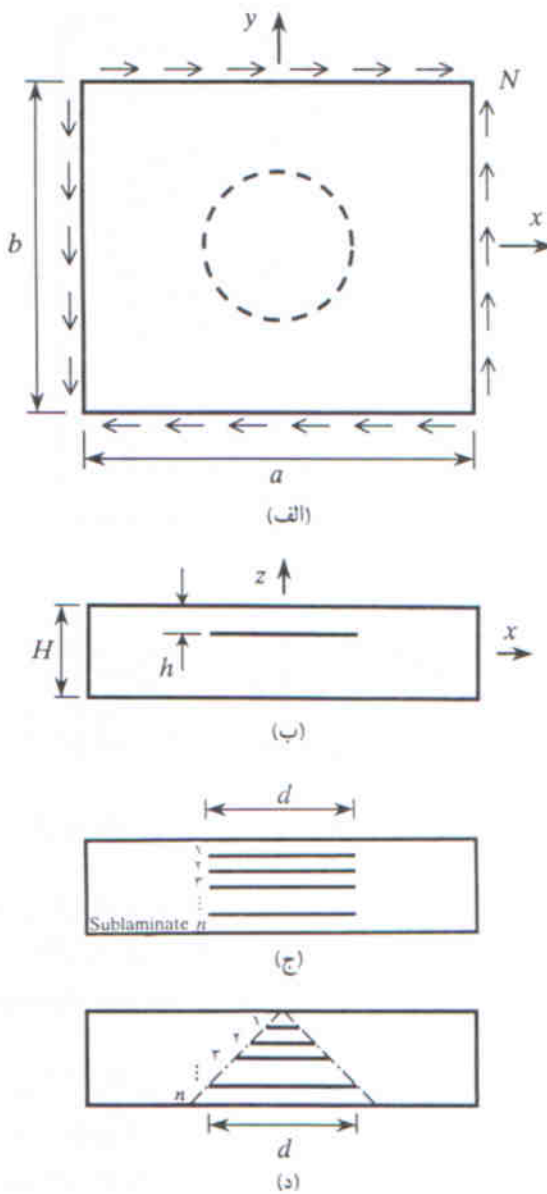
$$K_s \delta = \lambda K_G \delta \quad (1)$$

که در آن  $K_s$  و  $K_G$  ماتریس‌های سختی کشسانی و هندسی‌اند و  $\delta$  بردار تغییر مکان تعمیمی<sup>۱۵</sup> است. برای تشکیل ماتریس‌های فوق از رابطه‌های مربوط به صفحات میان‌لاین استفاده شده است.<sup>[۱۶] و [۱۷]</sup> کوچک‌ترین مقدار ویژه رابطه‌ی ۱ نشان‌دهنده‌ی بار بحرانی ( $N_{cr}$ )، و بردار ویژه متناظر با آن، نشانگر حالت کمانش است. در این تحقیق، مسئله مقدار ویژه بالا توسط روش تکرار همزمان<sup>[۱۸]</sup> حل شده است.

در محاسبات، از شبکه‌ی شبیه به شبکه ارائه شده در شکل ۲ استفاده شده است. از آنجا که در کمانش تحت تیروی پرشی، حالات‌های نامتقارن نیز در مدل مورد استفاده ظاهر می شود، شبکه

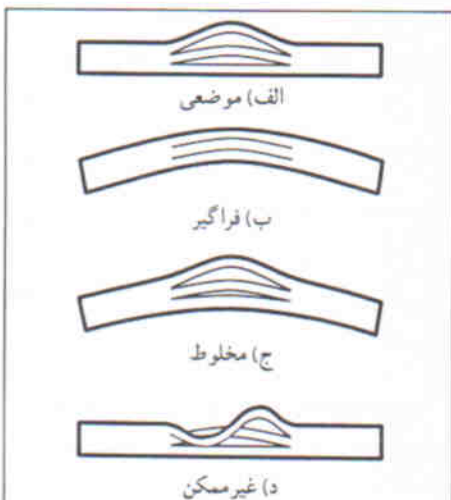


شکل ۲. شبکه ای استفاده شده در روش اجزاء محدود.

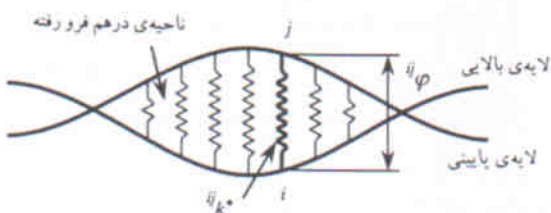


شکل ۱. صفحه‌ی حاوی تورّق، تحت بار برشی داخل صفحه.

قرار دارد استفاده می‌کنیم. این صفحه تحت بار برشی  $N$  در داخل صفحه‌ی  $y-z$  قرار دارد. هر لایه‌ی صفحه از الیاف بلند درست شده و دارای خواص یک‌جهتی<sup>۱۹</sup> است. تورّق دایره‌ی شکل بوده و در مرکز صفحه قرار داده شده است، در توزّق چندگانه، دو حالت اندازه‌ی یکسان (شکل ۱ج) و اندازه‌ی متغیر (شکل ۱د) در نظر گرفته می‌شود. صفحه توسط  $1-n-n-1$  تورّق به  $n$  لایه تقسیم می‌شود. در حالت تورّق چندگانه، ضخامت همه‌ی لایه‌ها یکسان فرض شده‌اند. در تورّق یگانه، محل تورّق را می‌توان در راستای ضخامت به صورت دلخواه تغییر داد. در نام‌گذاری لایه‌ها زاویه‌ی صفر درجه به لایه‌ی با الیاف در راستای  $x$  اشاره می‌کند.



شکل ۴. انواع حالت کمانش.



$$\Pi^* = \Pi + \frac{1}{2} \sum_{i,j,k} \delta_{ij} \delta_{jk} \delta_{ki} \varphi^2 \quad (3)$$

که در آن  $\delta_{ij}$  عدد جریمه<sup>۱۶</sup> است. معنی فیزیکی عبارت دوم سمت راست رابطه‌ی ۳، یک فتر مجازی بین نقاط  $i$  و  $j$  است که تغییر مکان نسی آنها را در راستای عمودی محدود می‌سازد و به این ترتیب همپوشانی را از بین می‌برد. تنها نکته‌ی موجود انتخاب مناسب عدد جریمه است.

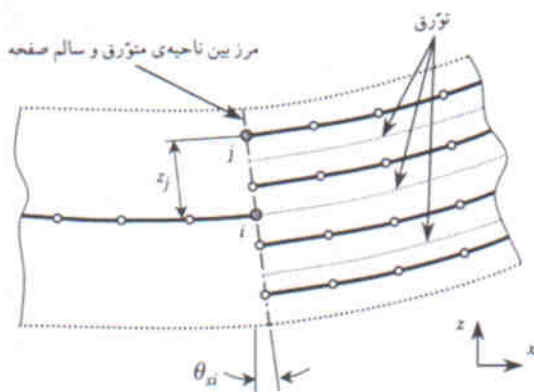
فرض کنید تغییر مکان عمودی نقاط  $i$  و  $j$  را  $\delta_i$  و  $\delta_j$  نویسیم. با سطح رابطه‌ی ۱ و جدا کردن معادلات مربوط به این دو تغییر مکان داریم:

$$k_m \delta_1 + k_m \delta_2 + \dots + k_{mm} \delta_m + \dots + k_{mn} \delta_n + \dots +$$

$$k_{mN_{dof}} \delta_{N_{dof}} = \lambda \sum_{l=1}^{N_{dof}} k_{Gml} \delta_l \quad (4)$$

$$k_n \delta_1 + k_n \delta_2 + \dots + k_{nm} \delta_m + \dots + k_{nn} \delta_n + \dots +$$

$$k_{nN_{dof}} \delta_{N_{dof}} = \lambda \sum_{l=1}^{N_{dof}} k_{Gnl} \delta_l \quad (4)$$



شکل ۲. شرایط پیوستگی در مرز توزق.

باید کل صفحه را پیوشنند. این شبکه از المان‌های هشت نقطه‌ی چهارگوش ایزوپارامتریک درست شده است. هر نقطه دارای پنج درجه آزادی  $\theta_x$ ,  $\theta_y$ ,  $\theta_z$ ,  $w$  و  $\varphi$  است. گه به ترتیب نشان دهنده تغییر مکان در راستای  $x$ ,  $y$ ,  $z$  و  $\varphi$  است. در صفحات  $xz$  و  $yz$  است. در نظر ناحیه‌ی توزق، به ازاء هر لایه‌ی جدا شده یک صفحه میندلین در نظر گرفته می‌شود و در مرز ناحیه‌ی متوزق و سالم صفحه، تغییر مکان نقاط به صورت زیر است (شکل ۳):

$$\begin{aligned} u_j &= u_i - z_j \theta_x i \\ v_j &= v_i - z_j \theta_y i \\ w_j &= w_i \\ \theta_{xj} &= \theta_{xi} \\ \theta_{yj} &= \theta_{yi} \end{aligned} \quad (2)$$

این رابطه‌های شبیه به رابطه‌های تغییر مکان در صفحات میندلین بوده و به این ترتیب ما را از بهم پیوستگی مناسب در مرز ناحیه‌ی متوزق و سالم مطمئن می‌کند. رابطه‌های فوق به صورت قیود در نظر گرفته شده و با استفاده از روش تابع جریمه اعمال شده است.

### مسئله‌ی تماس

یک صفحه‌ی حاوی توزق، ممکن است در اثر نیروی داخل صفحه در حالت‌های موضعی (شکل ۴الف)، فراگیر (شکل ۴ب) یا مخلوط (شکل ۴ج) کمانش کند. بدعلت همپوشانی لایه‌ها، تحلیل کمانش بدون قید ممکن است به حالتی منجر شود که در عمل غیر ممکن است (شکل ۴د). برای یافتن جواب قابل قبول، لازم است قیدهایی در مسئله گنجانده شود. برای این منظور، در این تحقیق از روش تابع جریمه استفاده می‌شود.

دو لایه‌ی همپوشانی شده را در نظر بگیرید (شکل ۵). در روش اجزای محدود حاضر، بر روی تمامی نقاط در ناحیه‌ی همپوشانی شده قیود اعمال می‌شود. به عنوان مثال، نقاط  $i$  و  $j$  را با عمق

$$\xi = \frac{\eta \varphi}{1+r} \quad (10)$$

در اینجا  $r$  عددی است که در ابتداء مقدار آن کم است ولی در هر تکرار مقدار آن را افزایش می‌دهیم. به این ترتیب  $k^{ij}$  به صورت زیر محاسبه می‌شود:

$$k^{ij} = \frac{(k_{mm} + k_{mn})P_n - (k_{mn} + k_{nn})P_m + \frac{\eta \varphi}{1+r}(k_{mn} - k_{mm}k_{nn})}{\frac{\eta \varphi}{1+r}(k_{mm} + 2k_{mn} + k_{nn})} \quad (11)$$

مقدار اولیه  $r$  و نحوی افزایش آن، نرخ همگرایی جواب را مشخص می‌کند. همگرایی مناسب با انتخاب مقدار اولیه  $1 \times 10^{-5}$  برای  $r$  و ضرب آن در ۲ در هر تکرار به دست می‌آید.

حال با استفاده از اطلاعات به دست آمده می‌توان یک بار مسئله را حل کرد، در صورت وجود هم‌پوشانی، مقادیر فترهای مجازی برای تمام نقاط هم‌پوشانی شده را با استفاده از رابطه‌ی ۱۱ محاسبه کرده و اثر آنها را در  $K$  اعمال کرد. سپس مقدار  $r$  را افزایش داده و تکرار بعدی را انجام داد تا زمانی که میزان هم‌پوشانی از مقداری دلخواه کوچک‌تر شود.

### نتایج عددی

صفحه‌ی مربعی از مواد مرکب لایه‌ی دار در نظر می‌گیریم (شکل ۱). شرایط مرزی ساده و درگیر، هر دو در نظر گرفته شده است. ابعاد صفحه به صورت  $H = 3 \text{ mm}$ ,  $a = b = l = 200 \text{ mm}$  و ترکیب لایه‌ها به شکل  $[3/2/1/2/3]$  است. خواص مواد برای هر لایه در جدول ۱ نشان داده شده است.

بار بحرانی بی‌بعد، از تقسیم بار بحرانی صفحه‌ی حاوی تورق بر بار بحرانی صفحه‌ی سالم و با همان ابعاد به دست آمده است. با استفاده از برنامه‌ی تهیه شده در این تحقیق، بار بحرانی صفحه‌ی سالم (بدون تورق) با تکیه‌گاه ساده و ابعاد بالا برابر است با  $N_s = 3 \times 10^5 \text{ N/m}$ . برای بی‌بعد کردن بار بحرانی از این عدد استفاده شده است. بار بحرانی بی‌بعد را، به شرط حفظ شباهت، می‌توان برای تمامی ابعاد صفحه به کار برد.

جدول ۱. خواص مواد هر لایه.

$E_{11}$ (GPa)	$E_{44}$ (GPa)	$G_{11}$ (GPa)	$\nu_{12}$
۷۸۷	۱۰/۳	۷/۱۷	۰/۲۸

که در آن  $N_{dof}$  تعداد درجهات آزادی کل سیستم است. اضافه کردن فتر مجازی جدید پرروزی  $k_{mm}$  و  $k_{nn}$  اثر می‌گذارد. با شابت فرض کردن بقیه‌ی جملات و انتقال آنها به سمت راست رابطه داریم:

$$k_{mm}\delta_m + k_{mn}\delta_n = P_m \quad (5)$$

$$k_{mn}\delta_m + k_{nn}\delta_n = P_n$$

که در آن:

$$P_m = \lambda \sum_{l=1}^{N_{dof}} k_{Gml}\delta_l - \sum_{\substack{l=1 \\ (l \neq m, l \neq n)}}^{N_{dof}} k_{ml}\delta_l \quad (6)$$

$$P_n = \lambda \sum_{l=1}^{N_{dof}} k_{Gnl}\delta_l - \sum_{\substack{l=1 \\ (l \neq m, l \neq n)}}^{N_{dof}} k_{nl}\delta_l$$

پس از اضافه کردن اثر فتر جدید، رابطه‌ی ۵ به رابطه‌ی ۷ تبدیل می‌شود:

$$(k_{mm} + k^{ij}k^*)\delta'_m + (k_{mn} - k^{ij}k^*)\delta'_n = P_m \quad (7)$$

$$(k_{mn} - k^{ij}k^*)\delta'_m + (k_{nn} + k^{ij}k^*)\delta'_n = P_n$$

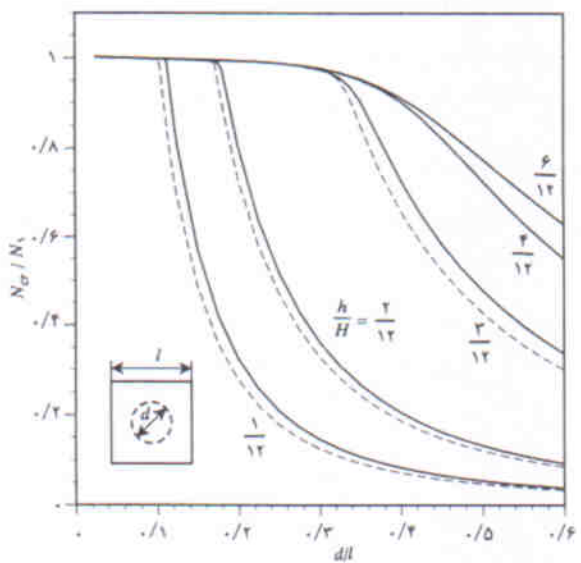
در اثر اضافه شدن فتر جدید، تغییر مکان نقاط  $i$  و  $j$  به  $\delta'_n$  و  $\delta'_m$  تبدیل شده است. برای کم کردن فاصله‌ی عمودی نقاط  $i$  و  $j$  می‌توانیم قیدی به صورت زیر تعریف کنیم:

$$\delta'_n - \delta'_m = \xi \quad (8)$$

حال با استفاده از سه معادله‌ی موجود در رابطه‌های ۷ و ۸ می‌توان از بین سه مجھول  $k^{ij}k^*$ ,  $\delta'_m$  و  $\delta'_n$  مقدار  $k^{ij}k^*$  را چنین محاسبه کرد:

$$k^{ij} = \frac{(k_{mm} + k_{mn})P_n - (k_{mn} + k_{nn})P_m + \xi(k_{mn} - k_{mm}k_{nn})}{\xi(k_{mm} + 2k_{mn} + k_{nn})} \quad (9)$$

باید توجه داشت که اعمال یک فتر بین نقاط  $i$  و  $j$  باعث تغییر شکل نقاط کناری نیز خواهد شد. برای آن نقاط نیز فترهای مجزا از رابطه‌ی ۹ محاسبه و اعمال می‌شود. وابستگی تغییر مکان هر نقطه به فترهای مجازی اعمال شده در نقاط دیگر باعث غیرخطی شدن مسئله شده و ما مجبور به حل مسئله در تکرارهای متعدد می‌شویم. در اینجا، سعی می‌کنیم بخشی از هم‌پوشانی را در هر تکرار از بین بیزیم. به عبارت دیگر هم‌پوشانی مجازی مطابق رابطه‌ی ۱۰ را در نظر می‌گیریم و در هر تکرار این مقدار مجاز را کاوش می‌دهیم.

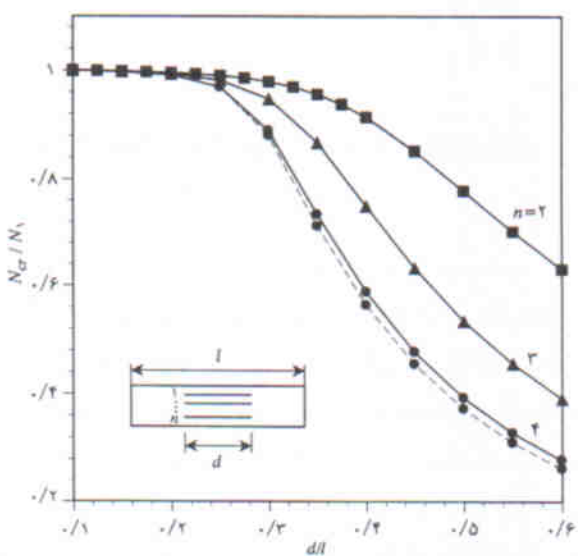


شکل ۷. اثر اندازه و عمق تورّق یگانه بر بار بحرانی.

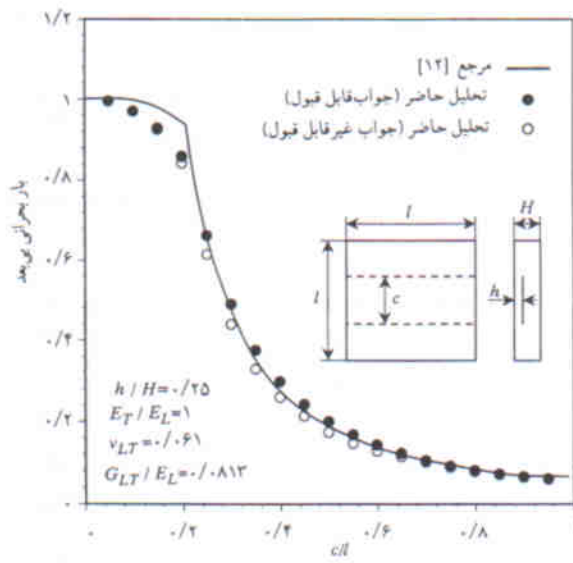
مقادیر قابل قبول (جواب قابل قبول) را (پس از اعمال قيد و حذف هم پوشانی)، نشان می دهد. اختلاف بین اين دو سري خطوط، مشخص کننده اثر قيد اعمال شده بر روی بار بحرانی است.

#### ج) تورّق چندگانه

تورّق چندگانه قادر است بار بحرانی صفحات را به شکل قابل توجهی کاهش دهد. برای بررسی این موضوع، یک صفحه مربع با سطح مقطعی مانند شکل ۱-ج در نظر می گیریم. شکل ۸ مقادیر بار بحرانی بی بعد را برای تعداد مختلف تورّق، زمانی که قطر دایره هی آنها افزایش



شکل ۸. اثر تعداد و اندازه تورّق چندگانه (اندازه یکسان) بر بار بحرانی.



شکل ۹. مقایسه نتایج با نتایج حاصل از مدل تورّق سراسری عرضی.

#### الف) مقایسه با نتایج موجود

در ابتدا برای بررسی صحت نتایج حاصله، این نتایج را با نتایجی که در آن مدل تورّق سراسری عرضی در نظر گرفته شده<sup>[۱۲]</sup> مقایسه کردۀ ایم. شکل ۹ نتایج این مقایسه را نشان می دهد. اندک تفاوت موجود بین نتایج را می توان ناشی از دو دلیل دانست. اولاً در مدل فوق فقط حالت های موضعی و فراگیر در نظر گرفته شده است، و بر خلاف روش حاضر امکان به دست آوردن حالت مخلوط وجود نداشته است. این مسئله باعث اختلاف در نزدیکی  $d/l = 0.25$  می شود که در آن حالت مخلوط ظاهر می شود. دوماً، در آن مرجع از مسئله تماس هم پوشانی لایه ها نیز صرف نظر شده است، در حالی که این مسئله در این تحقیق منظور شده و این نکته باعث اختلاف در ناحیه  $d/l = 0.25$  شده است، که در آن هم پوشانی لایه ها رخ می دهد.

#### ب) تورّق یگانه

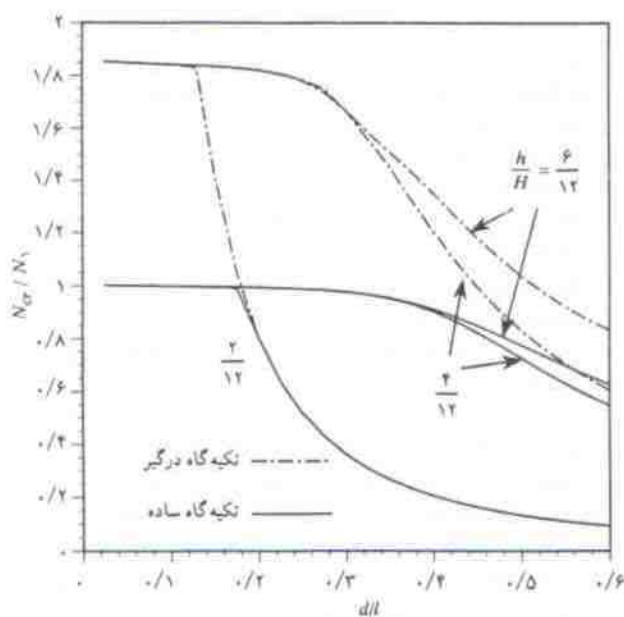
برای بررسی اثر اندازه و عمق تورّق یگانه بر بار بحرانی، صفحه مربع با سطح مقطعی، شبیه آنچه که در شکل ۱ ارائه شده، در نظر می گیریم. شکل ۷ بار بحرانی بی بعد را برای عمق های مختلف تورّق، زمانی که قطر تورّق دایره هی افزایش می یابد، نشان می دهد. برای ابعاد کوچک تورّق ( $d/l < 0.1$ )، حالت کمانش فراگیر است و بار بحرانی صرف نظر از عمق تورّق، بالاست که با افزایش اندازه تورّق، بار بحرانی کاهش می یابد. این کاهش زمانی که تورّق به سطح صفحه نزدیک تر است (عمق کتر) چشمگیر تر می شود.

در شکل ۷، خطوط مقطع نشانگر مقادیر بار بحرانی در حالت کمانش غیر قابل قبول (حالت هم پوشانی شده) است و خطوط تورّق

شکل ۱۰ مقادیر بار بحرانی بی بعد را برای صفحه‌ی بی با سه توزّق دایری می‌باندازه‌های متغیر، زمانی که قطر بزرگ‌ترین آنها (و بالطبع بقیه) تغییر می‌کند، نشان می‌دهد. بدلاً وله، این شکل نشانگر بار بحرانی صفحه‌ی بی است، در حالی که یک توزّق را در اندازه و در عمقی که بزرگ‌ترین توزّق مدل چندگانه با ابعاد متغیر دارد شامل می‌شود. مقایسه‌ی این نتایج نشان می‌دهد که بار بحرانی صفحه‌ی بی با توزّق چندگانه و اندازه‌ی متغیر را می‌توان با بار بحرانی صفحه‌ی بی با یک توزّق به صورتی که در بالا ذکر شد تقریب زد.

#### (د) اثر شرایط مرزی

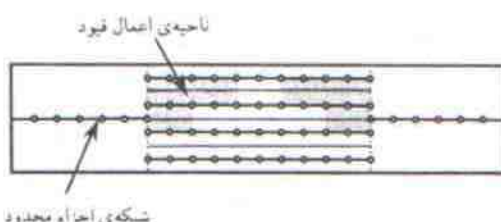
شرایط مرزی صفحه، تأثیر به سزایی بر روی بار بحرانی دارد، شکل ۱۱ این اثر را در صفحه‌ی حاوی توزّق یگانه‌ی دایری می‌شکل که در عمق‌های مختلف قرار داده شده نشان می‌دهد. شرایط مرزی ساده و درگیر، به ترتیب مشخص کننده‌ی صفاتی با چهار گوشی ساده و درگیر است. این شکل نشان می‌دهد که برای اندازه‌ی کوچک توزّق درگیر است، این شرایط مرزی در صفحات حاوی توزّق کم عمق بر اثر افزایش اندازه‌ی توزّق، به سرعت کاهش می‌یابد.



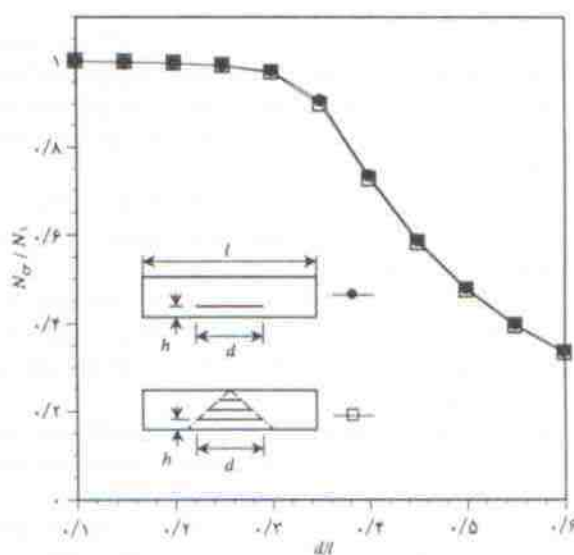
شکل ۱۱. اثر شرایط مرزی بر بار بحرانی.

می‌یابد، نشان می‌دهد. چنان‌که مشاهده می‌شود، در اینجا نیز برای اندازه‌ی کوچک توزّق، بار بحرانی بالا دست آمده و با افزایش اندازه‌ی توزّق بار بحرانی کاهش می‌یابد. بدلاً وله، این شکل نشان می‌دهد که با افزایش تعداد توزّق‌ها بار بحرانی کاهش می‌یابد. این کاهش برای ابعاد بزرگ توزّق بسیار شدید است.

چنان‌که در مقدمه ذکر شد، نتایج تجربی نشان می‌دهد که توزّق حاصل از برخورد اجسام خارجی، معمولاً در چند سطح مترک<sup>۱۷</sup> ایجاد می‌شود. اندازه‌ی این توزّق‌ها با دور شدن از سطحی که برخورد بر آن صورت گرفته افزایش می‌یابد. برای بررسی این مسئله، مدلی شبیه شکل ۱۲ را در نظر می‌گیریم. بررسی این مدل در روش اجزاء محدود بنازمند شبکه‌یی است که ساخت آن به صورت مستقیم مشکلاتی را در بر دارد، زیرا به عمل نایکسانی لایه‌های جدا شده، نمی‌توانیم برای آنها طرح شبکه‌یی یکسان را در نظر بگیریم. برای رهایی از این مشکل، با به کار گیری شبکه‌یی استفاده شده در مراحل قبلی، تغییر مکان نقاط را در ناحیه‌ی توزّق، مانند شکل ۹، محدود می‌کنیم. برای این کار قبود روابط را برابر تماشی نقاطی که در ناحیه‌ی مشخص شده‌ی شکل ۹ قرار می‌گیرد اعمال می‌کنیم.



شکل ۹. متن برای حالت توزّق چندگانه با اندازه‌ی متغیر.



شکل ۱۰. اثر تعداد و اندازه‌ی توزّق چندگانه (اندازه‌ی متغیر) بر بار بحرانی.

۲. تورّق در صفحات مواد مرکب لایه‌بی باعث کاهش بار بحرانی آنها می‌شود. این کاهش با افزایش تعداد یا اندازه‌ی تورّق چشمگیرتر می‌شود.

۳. بار بحرانی صفحه‌ی حاوی تورّق چندگانه با اندازه‌ی متغیر را می‌توان با بار بحرانی صفحه‌یی حاوی تورّق یگانه (با اندازه و عمقی که بزرگ‌ترین تورّق حالت چندگانه دارد) تقریب زد.

۴. اثر شرایط مرزی بر بار بحرانی زمانی مهم است که تورّق کوچک و عمیق باشد.

### نتیجه‌گیری

بار بحرانی صفحات حاوی تورّق ساخته شده از مواد مرکب لایه‌بی تحت بار برشی داخل صفحه با حل مسئله‌ی مقدار ویژه واژ روش اجزاء محدود به دست آمد. با بررسی نتایج به دست آمده می‌توان گفت:

۱. در تحلیل کمانش صفحات حاوی تورّق، مسئله‌ی تماس مطرح بوده و لازم است با اعمال قیود، از همپوشانی لایه‌ها جلوگیری شود. این کار باعث افزایش بار بحرانی می‌شود.

### پانوشت‌ها

1. composite laminates
2. delamination
3. strength
4. stiffness
5. single delamination
6. multiple delamination
7. edge delamination
8. through-the-width delamination
9. layer overlap
10. contact problem
11. transverse shear
12. unidirectional
13. iteration
14. generalized displacement vector
15. exterior penalty function method
16. penalty number
17. interface

### منابع

1. Chai, H., Babcock, C.D., and Knauss, W.G., "One dimensional modelling of failure in laminated plates by delamination buckling", *Int. J. Solids Structures*, **17** (11), pp 1069-1083 (1981).
2. Simitses, G.J., Sallam, S., and Yin, W.L., "Effect of Delamination of Axially Loaded Homogeneous Laminated Plates", *AIAA J.*, **23**, pp 1437-1444 (1985).
3. Kardomateas, G.A., and Schmueser, D.W., "Buckling and Postbuckling of Delaminated Composites Under Compressive Loads Including Transverse Shear Effects", *AIAA J.*, **26**, pp 337-343 (1988).
4. Lee, J., Gurdal, Z., and Griffin, H. Jr., "Layer-wise approach for the bifurcation problem in laminated composites with delaminations", *AIAA J.*, **31**(2), pp 331-338 (1993).
5. Suemasu, H., Gozu, K., and Hayashi, K., "Compressive buckling of rectangular composite plates with a free-edge delamination", *AIAA J.*, **33**, pp 312-319 (1995).
6. Chai, H., and Babcock, C.D., "Two-dimensional modelling of compressive failure in delaminated laminates", *J. Composite Materials*, **19**, pp 67-98 (1985).
7. Whitcomb, J.D., "Analysis of a Laminate with a Postbuckled Embedded Delamination, Including Contact Effects", *J. Composite materials*, **26**, pp 1523-1535 (1992).
8. Yeh, M.K., and Tan, C.M., "Buckling of Elliptically Delaminated Composite Plates", *J. Composite Materials*, **28**, pp 36-52 (1994).
9. Sekine, H., Hu, N., and Kouchakzadeh, M.A., "Buckling analysis of elliptically delaminated composite laminates with consideration of partial closure of delamination", *J. Composite Materials*, **34**, pp 551-574 (2000).
10. Suemasu, H., Kumagai, T., and Gozu, K., "Compressive behavior of multiply delaminated composite laminates part 1: Experiment and analytical development", *AIAA J.*, **36**(7), pp 1279-1285 (1998).
11. Kouchakzadeh, M.A., and Sekine, H., "Compressive buckling analysis of rectangular composite laminates containing multiple delaminations", *Composite Structure*, **50**(3), pp 249-255 (2000).
12. Suemasu, H., "Analytical study of shear buckling and postbuckling behaviors of composite plates with delamination", *JSME International J., Series I*, **34**(2), pp 135-142 (1991).
13. Zienkiewicz O.C., *The Finite Element Method*, Third Edition, McGraw-Hill Book Company (1977).
14. Pica, A., Wood, R.D., and Hinton, E., "Finite Element Analysis of Geometrically Nonlinear Plate Behaviour Using A Mindlin Formulation", *Computers and Structures*, **11**, pp 203-215 (1980).
15. Mukhopadhyay, M., and Mukherjee, A., "Finite Element Buckling Analysis of Stiffened Plates", *Computers and Structures*, **34**, pp 795-803 (1990).
16. Corr, R.B., and Jennings, A., "A Simultaneous Iteration Algorithm for Symmetric Eigenvalue Problems", *Int. J. Numer. Meth. Engng*, **10**, pp 647-663 (1976).